

山梨大学工学部 正員 深沢泰晴
山梨大学大学院 学生員 ○太田貞次

1. はじめに

薄肉ばりにそのせん断中心を通らない衝撃力が作用した場合に生ずるような sharp transient な曲げねじれ振動の現象の解明には、いわゆる Wagner の Unit Warping の仮定を用いた慣用の曲げねじれ理論に基づく振動解析では満足な結果は得られない。何故ならば、その解においては、短波長波は伝播速度が無限大となり、振動波は発散現象を呈してしまうからである。

この欠陥を補うため、Aggarwal & Cranch は薄肉ばりの曲げねじれ振動にも Timoshenko Beam Theory の拡張を試み、I および U 断面ばりの曲げねじれ振動波の伝播の問題を論じた¹⁾。また深沢は任意形状の多角薄内開断面のはりに対しても同様な解析が可能であることを一般的な形で示した²⁾。しかしながら、個々の構成板帶断面の平均せん断変形を未知関数とする両者の解法には、板帶数が多くなると計算が非常に煩雑になること、また曲線形状のような任意な形の薄肉断面ばりには適用できないことの二つの欠点がある。

そこで著者等は薄内開断面の場合、曲げおよび反りによるせん断ひずみとも、断面の薄肉中心線に沿った分布は、一般に著しい変動を示さない点に着目し、薄肉中心線の全長にわたっての平均せん断変形を用いることにより、問題の解析を行なった。ここではその解析の基礎となる任意形状の薄肉開断面の曲げねじれについて、曲げおよび反り拘束に伴なうせん断変形を考慮した静的つりあいの微分方程式をもとにそれに基づく振動問題の微分方程式の説明の過程の概略を記す。

2. 曲げおよび反りせん断変形を考慮した静的平衡方程式

図-1 に示すように、薄肉開断面ばりが荷重 q_x^* , q_y^* , m_x^* , m_y^* , m_w^* の作用を受けるとき、断面力 Q_x^* , Q_y^* , M_x , M_y , T_z^* (St. Venant のねじりモーメント), T_w^* (反り拘束ねじりモーメント), M_w^* (反り拘束バイモーメント)との間には、はりの微小部分に作用する力のつりあい条件が次式が成立立つ;

$$\left. \begin{aligned} Q_x^{*'} + q_x^* &= 0, & Q_y^{*'} + q_y^* &= 0 \\ M_x' - Q_x^* + m_x^* &= 0, & M_y' - Q_y^* + m_y^* &= 0 \\ (T_z^* + T_w^*)' + m_w^* &= 0, & M_w^* - T_w^* + m_w^* &= 0 \end{aligned} \right\} \cdots \cdots \cdots (1)_{a-f}$$

ここにダッシュは区に間する微分を意味し、*印はせん断中心に
間する量であることを表わす。

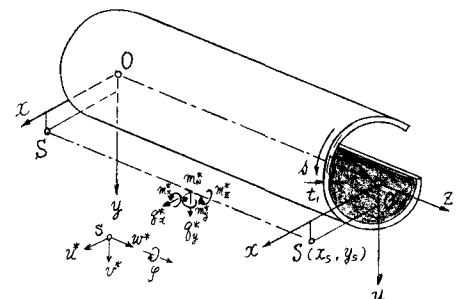


図-1 開断面薄内ばりの一般図

断面上の任意点 P(x, y) の変位 u , v , w をせん断中心 S(x_s, y_s) の変位 u^* , v^* , w^* で表わすと、

$$u = u^* - (y - y_s) \varphi, \quad v = v^* + (x - x_s) \varphi, \quad w = w^* - y \psi_x^* - x \psi_y^* - w^* \vartheta^* \quad \dots \dots \dots (2)_{a-c}$$

ここで、 ψ_x^* , ψ_y^* は x, y 軸まわりの断面の回転角, $\vartheta^* = \delta^*(z)$ はねじり率 φ' に代わる新しい関数である。式(2)および M_x , M_y , M_w の定義式を用いて、任意点 P における垂直応力 σ_z やびせん断応力 τ_{zx} を求めると、

$$\sigma_z = E \epsilon_z = \frac{M_x}{J_x} y + \frac{M_y}{J_y} x + \frac{M_w^*}{C_w^*} w^*, \quad \tau_{zx} = G \gamma_{zx} = \frac{T_z^*}{J_z^*} \cdot 2n - \frac{1}{x} \left(\frac{Q_x^*}{J_x} S_y + \frac{Q_y^*}{J_y} S_x + \frac{T_w^*}{C_w^*} S_w^* \right) \cdots (3)_{a,b}$$

ここに、

$$S_x = \int y^2 ds, \quad S_y = \int x^2 ds, \quad S_w^* = \int w^2 ds$$

断面力と変形との関係式は仮想仕事の原理: $\int S(\Pi_x + \Pi_a + \Pi_n) = 0 \dots \dots \dots (4)$

によって定める。式(4)において、 $\int \Pi_i (= \iint (\epsilon_z \delta \sigma_z + \gamma_{zx} \delta \tau_{zx}) dF dz)$: 内的仮想仕事, $\int \Pi_a$: 外的

仮想仕事、 δT_N ($= \sum_{i=1}^6 G_i \lambda_i$) : 附帯条件の項で G_i としては式(1) a-f を課す。Lagrange の乗数 λ_i は式(4)の境界項が消滅する条件より定まり、 $\lambda_1 = U^*$, $\lambda_2 = V^*$, $\lambda_3 = -\psi_x^*$, $\lambda_4 = -\psi_y^*$, $\lambda_5 = \varphi$, $\lambda_6 = -\theta^*$ なる。結局式(4)はつぎのようになる;

$$\int_0^l \left\{ \frac{M_x \delta M_x}{E J_x} + \frac{M_y \delta M_y}{E J_y} + \frac{M_w \delta M_w}{E C_w} + \frac{T_s^* \delta T_s^*}{G J_r^*} + \frac{Q_x^* \delta Q_x^*}{K_x G F} + \frac{Q_y^* \delta Q_y^*}{K_y G F} + \frac{T_w^* \delta T_w^*}{K_w G J_r^*} - U^* \delta Q_x^* - V^* \delta Q_y^* \right\} dz = 0 \quad (5)$$

$$+ \psi_x^* \delta M_x + \psi_y^* \delta Q_y + \psi_z^* \delta M_y + \psi_z^* \delta Q_x - \varphi \delta (T_s^* + T_w^*) + \theta^* \delta M_w^* + \theta^* \delta T_w^* \}$$

ここに、 K_x , K_y は曲げせん断補正係数、 K_w は反りせん断補正係数を意味し、次式で表わされる;

$$\frac{1}{K_x} = \frac{F}{J_x} \int_{\Gamma} \frac{S_x^2}{x^2} dF, \quad \frac{1}{K_y} = \frac{F}{J_y} \int_{\Gamma} \frac{S_y^2}{x^2} dF, \quad \frac{1}{K_w} = \frac{J_r^*}{C_w} \int_{\Gamma} \frac{S_w^2}{x^2} dF$$

式(5)から変分原理により

$$\left. \begin{aligned} Q_x^* &= K_x G F (U^* - \psi_x^*), \quad Q_y^* = K_y G F (V^* - \psi_y^*) \\ M_x &= -E J_x \psi_x^*, \quad M_y = -E J_y \psi_y^*, \quad T_s^* = G J_r^* \varphi' \\ T_w^* &= K_w G J_r^* (\varphi' - \theta^*), \quad M_w^* = -E C_w \theta^* \end{aligned} \right\} \quad \cdots \cdots \cdots (6) a-c$$

$$\left. \begin{aligned} M_x^* &= -E J_x \psi_x^*, \quad M_y^* = -E J_y \psi_y^*, \quad T_s^* = G J_r^* \varphi' \\ T_w^* &= K_w G J_r^* (\varphi' - \theta^*), \quad M_w^* = -E C_w \theta^* \end{aligned} \right\} \quad \cdots \cdots \cdots (7) a-g$$



$$\left. \begin{aligned} \frac{1}{K_x} &= 0.0320, & \frac{1}{K_y} &= 0.0340, & \frac{1}{K_w} &= 0.1098, & \frac{1}{K_w} &= 0.0402 \\ \left(\frac{b}{a} \right) &= \frac{1}{2}, & \left(\frac{a}{b} \right) &= \frac{1}{4}, & \left(\frac{a}{c} \right) &= \frac{1}{10}, & \left(\frac{c}{a} \right) &= \frac{1}{10} \end{aligned} \right. \quad \text{の場合)$$

式(7)を式(1)に代入し、曲げおよび反り拘束に伴なうせん断変形を考慮した静的方程式が得られる;

$$\left. \begin{aligned} K_x G F (U^* - \psi_x^*) + f_x^* &= 0, & K_x G F U^* + E J_y \psi_y^* - K_x G F \psi_x^* - m_x^* &= 0 \\ K_y G F (V^* - \psi_y^*) + f_y^* &= 0, & K_y G F V^* + E J_x \psi_x^* - K_y G F \psi_y^* - m_y^* &= 0 \\ (1 + K_w) G J_r^* \varphi' - K_w G J_r^* \theta^* + m_w^* &= 0, & K_w G J_r^* \varphi' + E C_w \theta^* - K_w G J_r^* \theta^* - m_w^* &= 0 \end{aligned} \right\} \quad \cdots \cdots \cdots (8) a-f$$

これは3組の連立式であり、第1組および第2組の微分方程式はそれぞれ軸および2軸まわりの曲げに関するものであり、第3組は反り拘束に伴なうせん断変形を考慮した場合の曲げねじれに関する微分方程式である。

3. 曲げおよび反り拘束に伴なうせん断変形を考慮した振動方程式

問題の振動方程式は静的つりあいの微分方程式(8)の荷重項を振動時における慣性力で置き換えることによって得られる。薄肉中心線の単位長さあたりの慣性力を P_x , P_y , P_z とする式(2)を考慮して、

$$\left. \begin{aligned} q_x^* &= \int_L P_x ds = -\rho F \left(\frac{\partial^2 U^*}{\partial z^2} + y_0 \frac{\partial^2 \varphi}{\partial z^2} \right), \quad q_y^* = \int_L P_y ds = -\rho F \left(\frac{\partial^2 V^*}{\partial z^2} - x_0 \frac{\partial^2 \varphi}{\partial z^2} \right) \\ m_x^* &= \int_L P_z \frac{\partial^2 \psi_x^*}{\partial z^2} ds = \rho J_x \frac{\partial^2 \psi_x^*}{\partial z^2}, \quad m_y^* = \int_L P_z \frac{\partial^2 \psi_y^*}{\partial z^2} ds = \rho J_y \frac{\partial^2 \psi_y^*}{\partial z^2}, \quad m_w^* = \int_L P_z \omega^* ds = \rho C_w \frac{\partial^2 \varphi^*}{\partial z^2} \\ m_z^* &= \int_L [P_z(x-x_0) - P_z(y-y_0)] ds = -\rho F \left(y_0 \frac{\partial^2 \varphi^*}{\partial z^2} - x_0 \frac{\partial^2 \varphi^*}{\partial z^2} + L^2 \frac{\partial^2 \varphi^*}{\partial z^2} \right) \end{aligned} \right\} \quad \cdots \cdots \cdots (9) a-f$$

ここに、 ρ は材料の密度、 L は次式で与えられる; $L^2 = \frac{1}{F} \int_L \{(x-x_0)^2 + (y-y_0)^2\} ds$

結局式(9)を式(8)に代入して、曲げおよび反り拘束に伴なうせん断変形を考慮した振動方程式が得られる;

$$\left. \begin{aligned} K_x G F \left(\frac{\partial^2 U^*}{\partial z^2} - \frac{\partial^2 \psi_x^*}{\partial z^2} \right) - \rho F \left(\frac{\partial^2 U^*}{\partial z^2} + y_0 \frac{\partial^2 \varphi}{\partial z^2} \right) &= 0, \quad K_x G F \frac{\partial^2 \psi_x^*}{\partial z^2} + E J_y \frac{\partial^2 \psi_y^*}{\partial z^2} - K_x G F \psi_x^* - \rho J_y \frac{\partial^2 \psi_y^*}{\partial z^2} &= 0 \\ K_y G F \left(\frac{\partial^2 V^*}{\partial z^2} - \frac{\partial^2 \psi_y^*}{\partial z^2} \right) - \rho F \left(\frac{\partial^2 V^*}{\partial z^2} - x_0 \frac{\partial^2 \varphi}{\partial z^2} \right) &= 0, \quad K_y G F \frac{\partial^2 \psi_y^*}{\partial z^2} + E J_x \frac{\partial^2 \psi_x^*}{\partial z^2} - K_y G F \psi_y^* - \rho J_x \frac{\partial^2 \psi_x^*}{\partial z^2} &= 0 \\ (1 + K_w) G J_r^* \frac{\partial^2 \varphi^*}{\partial z^2} - K_w G J_r^* \frac{\partial^2 \theta^*}{\partial z^2} - \rho F \left(y_0 \frac{\partial^2 \varphi^*}{\partial z^2} - x_0 \frac{\partial^2 \varphi^*}{\partial z^2} + L^2 \frac{\partial^2 \varphi^*}{\partial z^2} \right) &= 0, \quad K_w G J_r^* \frac{\partial^2 \theta^*}{\partial z^2} + E C_w \frac{\partial^2 \varphi^*}{\partial z^2} - K_w G J_r^* \varphi^* - \rho C_w \frac{\partial^2 \varphi^*}{\partial z^2} &= 0 \end{aligned} \right\} \quad \cdots \cdots \cdots (10) a-f$$

この微分方程式系においては、6ヶの方程式がすべて連成しているが、2軸対称断面の場合には $x_0 = y_0 = 0$ であるが、それで2ヶの微分方程式よりなる3組の方程式系に分解され、また1軸対称断面であれば2ヶの微分方程式からなる方程式系と4ヶの微分方程式からなる方程式系に分かれれる。

代表的な4種の薄肉開断面について、反りせん断補正係数 K_w の計算結果を S_w -図とともに図-2に示す。曲げねじれ振動における自由振動波の伝播に関する具体的な計算結果については、講演会当日報告する予定である。

参考文献 1) Aggarwal, H.R. & E.T. Cranch: Journal of Applied Mechanics. June, 1967.

2) 深沢泰晴: 土木学会学術講演会概要集, 昭48-10. 3) Heilig, R.: Der Stahlbau. April, 1961.